

## Zur Kinetik der thermischen Bildung von Leerstellen in Platin

Von R. SIZMANN und H. WENZL

Laboratorium für Technische Physik  
der Technischen Hochschule München

(Z. Naturforsch. 18 a, 673—674 [1963]; eingegangen am 19. April 1963)

In Metallen sind Gitterleerstellen die vorherrschenden Punktfehler. Ihre thermodynamische Gleichgewichtskonzentration  $c_1$  ist im allgemeinen unterhalb des Schmelzpunktes infolge der hohen Bildungsenthalpie  $\Delta H$  sehr gering (beispielsweise in Kupfer bei Zimmertemperatur etwa  $10^{-16}$  Leerstellen/Gitterplatz). Mit steigender Temperatur nimmt ihre Konzentration nach dem exponentiellen Gesetz  $c_1 = c_0 \exp(-\Delta H/kT)$  stark zu. ( $c_0$  hat die Größenordnung 1.) Durch rasches Abkühlen (Abschrecken) von hoher Temperatur lässt sich erfahrungsgemäß die jeweilige Leerstellenkonzentration einfrieren, denn die Leerstellen können nicht spontan verschwinden, sondern müssen zu Gitterfehlern oder Grenzflächen wandern, an denen sie sich erst auszuscheiden vermögen.

Während nun der Reaktionsmechanismus des Abbaus eines Überschusses an Leerstellen vielfach untersucht wurde<sup>1</sup>, sind noch keine einschlägigen Messungen über ihre Bildungskinetik bekannt geworden. Man vermutet, daß wiederum nur bestimmte größere Gitterstörungen als Leerstellenquellen wirken, von denen aus die thermodynamische Gleichgewichtskonzentration in den ungestörten Gitterbereichen eingestellt wird.

In dem vorliegenden Beitrag werden erste Messungen über die Bildungskinetik von Leerstellen in Reinst-Platin mitgeteilt. Ein 10 cm langer,  $100 \mu$  starker Platindraht wurde in strömender Luft durch eine Kondensatorenentladung kurzzeitig aufgeheizt. Die im Kondensator ursprünglich gespeicherte elektrostatische Energie wird dabei im Platindraht nahezu vollständig in Wärme umgesetzt. Durch Änderung des Betrages der Kondensatorladung lassen sich verschiedene, reproduzierbare Maximaltemperaturen erreichen. Mittels eines Oszilloskopens konnte die Anstiegsgeschwindigkeit zu rd.  $2 \cdot 10^6 \text{ }^{\circ}\text{}/\text{s}$ , die Abkühlgeschwindigkeit zu rd.  $2 \cdot 10^5 \text{ }^{\circ}\text{}/\text{s}$  bestimmt werden. Die wirksame Impulsdauer war rd. 1 ms; sie war praktisch unabhängig von der Kondensatorladung.

Nach jedem Aufheizimpuls wurde die Änderung des elektrischen Restwiderstandes des Platin als Maß der erzeugten und eingefrorenen Leerstellen bestimmt (Thomson-Brücke, Meßtemperatur  $-183 \text{ }^{\circ}\text{C}$ ). Zur Umrechnung von Kondensatorladung auf die zuzuordnenden Maximaltemperatur  $T$  während eines Aufheizimpulses wurde nach Abschluß einer Meßreihe die elektrische Entladungsenergie soweit gesteigert, bis der Platindraht gerade durchschmolz, also  $1771 \text{ }^{\circ}\text{C}$  erreichte. Von diesem Eichpunkt aus wurde unter Berücksichtigung der Temperaturabhängigkeit der spezifischen Wärme des

Metalls die Ladung-Temperatur-Beziehung aufgestellt. Unabhängig hiervon wurden auch die Maximaltemperaturen an Hand des Oszilloskopengrafenbildes aus der bekannten Temperaturabhängigkeit des elektrischen Widerstandes von Platin bestimmt. Beide Umrechnungsverfahren Ladung-Temperatur gaben übereinstimmende Werte.

In Tab. 1 sind Ergebnisse zusammengestellt.

Maximaltemperatur $T \text{ }^{\circ}\text{K}$	Impulszahl $n$	Restwiderstandsänderung $\Delta R/R_0 \cdot 10^5$ bei $-183 \text{ }^{\circ}\text{C}$ *	$s = \frac{\Delta R/R_0 \cdot 10^5}{\sqrt{n}}$	Mittelwert $\bar{s}(T)$
1473	1	6	6	6,5
	2	10	7	
1653	1	48	48	47
	1	47	47	
	2	64	45	
	2	67	47	
1749	1	116	116	117
	2	168	119	
1847	1	180	180	190
	1	199	199	
	2	270	191	
	2	268	190	
1945	1	377	377	369
	2	508	360	

\* Nach jeder Restwiderstandsänderung wurde der Platindraht bei rd.  $600 \text{ }^{\circ}\text{C}$  geglüht und somit die eingefrorenen Leerstellen wieder ausgesieden.

Tab. 1.

In der vorletzten Spalte der Tabelle ist das Verhältnis  $s$  der relativen Restwiderstandsänderung  $\Delta R/R_0$  zu der Wurzel aus der Impulszahl  $n$  angegeben. Da jeder Impuls eine konstante zeitliche Länge  $t_1$  hatte, ist damit das Verhältnis  $s$  proportional zu  $\Delta R/\sqrt{t}$ , mit  $t$  = Gesamtdauer der Erhitzung. Man erkennt, daß für jede Temperatur  $\Delta R/\sqrt{t}$  konstant ist; die Mittelwerte  $\bar{s}(T)$  sind in der letzten Spalte aufgeführt. Die Konstanz von  $s$  gilt bis  $t = 4 t_1$ , also bis zu vier Aufheizimpulsen, wie Messungen zeigten. Höhere Impulzahlen bewirkten ein langsameres Ansteigen des Restwiderstandes als proportional zu  $\sqrt{t}$ . Die  $\sqrt{t}$ -Abhängigkeit war jedoch immer vorherrschend, solange die mittlere Leerstellenkonzentration nicht höher als bis 10% des entsprechenden Gleichgewichtswertes angestiegen war.

In Abb. 1 ist schließlich  $\log \bar{s}$  gegen  $1/T$  aufgetragen. Es ergibt sich eine Gerade. Stellt man die Beziehung zwischen Temperatur  $T$  und Bildungs-„Geschwindigkeit“  $s \sim \Delta R/\sqrt{t}$  dar durch

$$s \sim \Delta R/\sqrt{t} \sim \exp(-q/kT), \quad (1)$$

so wird für die Aktivierungsenthalpie  $q$  der Wert

$$q = (1,95 \pm 0,1) \text{ eV}$$

gefunden.

<sup>1</sup> H. DE JONG u. J. S. KOEHLER, Phys. Rev. 129, 49 [1963]. Insbesondere für Messungen an Platin: G. L. BACCHELLA, E.

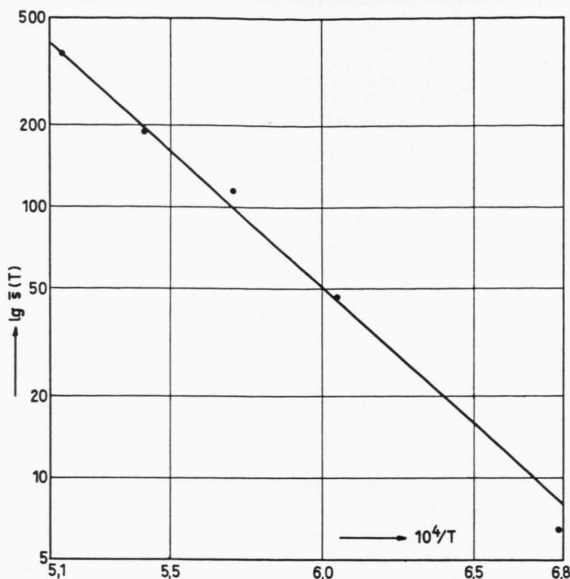


Dieses Werk wurde im Jahr 2013 vom Verlag Zeitschrift für Naturforschung in Zusammenarbeit mit der Max-Planck-Gesellschaft zur Förderung der Wissenschaften e.V. digitalisiert und unter folgender Lizenz veröffentlicht: Creative Commons Namensnennung-Keine Bearbeitung 3.0 Deutschland Lizenz.

Zum 01.01.2015 ist eine Anpassung der Lizenzbedingungen (Entfall der Creative Commons Lizenzbedingung „Keine Bearbeitung“) beabsichtigt, um eine Nachnutzung auch im Rahmen zukünftiger wissenschaftlicher Nutzungsformen zu ermöglichen.

This work has been digitalized and published in 2013 by Verlag Zeitschrift für Naturforschung in cooperation with the Max Planck Society for the Advancement of Science under a Creative Commons Attribution-NoDerivs 3.0 Germany License.

On 01.01.2015 it is planned to change the License Conditions (the removal of the Creative Commons License condition "no derivative works"). This is to allow reuse in the area of future scientific usage.



Die  $\sqrt{t}$ -Abhängigkeit der Zahl der eingewanderten Leerstellen deutet auf eine diffusionsbestimmte Reaktionsgeschwindigkeit hin. Im einfachsten Fall ist nämlich die von einer ausgedehnten Leerstellenquelle in das (anfangs leere und unendlich ausgedehnt angenommene) ungestörte Metallgitter während einer Zeit  $t$  ein-diffundierte Leerstellenzahl  $M$

$$M \sim \Delta R \sim C \cdot (D t)^{1/2}, \quad (2)$$

<sup>2</sup> B. G. LAZAREV u. O. N. OVCHARENKO, Dokl. Akad. Nauk SSSR **100**, 875 [1955].

<sup>3</sup> F. ASCOLI, R. ASDENTE, E. GERMAGNOLI u. S. MANARA, J. Phys. Chem. Solids **6**, 59 [1958].

$D$  = Diffusionskoeffizient für Leerstellen,  $C$  = Leerstellenkonzentration an der Grenzfläche Quelle — ungestörtes Gitter.

$D$  und  $C$  sind temperaturabhängige Größen. Es gilt  $C \sim \exp(-\Delta H/kT)$ , mit  $\Delta H$  = Bildungsenthalpie für Leerstellen;  $D \sim \exp(-Q/kT)$ , mit  $Q$  = Aktivierungsenthalpie für Leerstellendiffusion.

Aus den Gln. (1) und (2) ist somit für die gefundene Aktivierungsenthalpie  $q$  die Beziehung zu erwarten

$$q = \Delta H + Q/2. \quad (3)$$

Von mehreren Autoren <sup>2-4</sup> wurde übereinstimmend  $\Delta H = 1,2$  eV gefunden; nach <sup>3; 4</sup> ist  $Q = 1,4$  eV. Setzt man diese Werte in Gl. (3) ein, so erhält man  $q = 1,9$  eV, in vorzüglicher Übereinstimmung mit dem hier experimentell gefundenen Wert  $q = 1,95$  eV.

Der Zustand des Platins, der z. B. abhängig ist von der Vorbehandlung, insbesondere von der Ausglühdauer des ursprünglich kaltgezogenen Drahtes, hatte erheblichen Einfluß auf die Quellenstärke der Leerstellenbildung. Hierüber wird später berichtet werden.

Die oben angeführten Ergebnisse sind Messungen, die vor allem zur Klärung der Größenordnung der Einstellgeschwindigkeit der thermodynamisch geforderten Leerstellenkonzentration vorgenommen wurden. Eingehendere Untersuchungen werden nach Fertigstellung einer elektronischen Temperaturpulsregelung vorgenommen werden, die den bei der einfachen Kondensatorenentladung auftretenden sägezahnförmigen Temperaturpuls durch einen zeitlich variablen Rechteckimpuls ersetzen läßt.

<sup>4</sup> G. L. BACCELLI, E. GERMAGNOLI u. S. GRANATA, J. Appl. Phys. **30**, 748 [1959].

## BERICHTIGUNG

Zu D. T. HAYES, Zur Lösung der Bethe-Goldstone-Gleichung bei nicht-verschwindendem Gesamtimpuls I, Band **18 a**, 531 [1963].

Gl. (37) ist zu ersetzen durch  $\Delta \cong 4e^{-(\mu+1)} - \varrho$ ; in der folgenden Zeile muß es heißen  $d\Delta/d\varrho = -1$ . Die Diskussion der Abb. 3 muß lauten „ $\alpha$ ) Die Näherung Gl. (37) ist von  $\varrho = 0$  bis fast  $\varrho = \hat{\varrho}$  praktisch brauchbar.“  $\beta$ ) bleibt unverändert. während  $\gamma$ ) zu streichen ist. Abb. 3 bleibt gültig.